



БИООРГАНИЧЕСКАЯ ХИМИЯ

том 6 * № 3 * 1980

УДК 547.963.4.02+599.322

ПЕРВИЧНАЯ СТРУКТУРА МИОГЛОБИНА БОБРА (*CASTOR FIBER*)

I. РАСТВОРИМЫЕ ПЕПТИДЫ ТРИПТИЧЕСКОГО ГИДРОЛИЗАТА

Сухомлинов Б.Ф., Дробот Л.Б.

Кафедра биохимии Львовского государственного университета им. И. Франко

Установлена аминокислотная последовательность 23 растворимых триптических фрагментов апомиоглобина основного электрофоретического компонента миоглобина бобра (*Castor fiber*). Фракционирование, идентификацию и выделение пептидов осуществляли с помощью пептидных карт. Выделенные пептиды содержат в сумме 132 аминокислотных остатка.

Миоглобин — гемсодержащий хромопротеид, входящий в состав мышц большинства животных, обладает способностью обратимо связывать и накапливать кислород, поддерживая необходимую интенсивность окислительного метаболизма в мышечной ткани. Благодаря особенностям химического строения и пространственной конформации, установленной с высоким разрешением, а также большому биологическому значению миоглобин является удобной моделью для решения ряда проблем молекулярной биологии. Так, в частности, изучение первичной структуры гомологичных миоглобинов позволяет строить древа филогенетического родства организмов [1, 2], дает необходимую информацию для выяснения принципов и закономерностей молекулярной эволюции [3] и механизмов молекулярной адаптации, реализованных в процессе приспособления водных и полуводных млекопитающих к среде с низким парциальным давлением кислорода [4].

В развитие исследований структурно-функциональных особенностей гемовых белков животных, ведущих полуводный образ жизни [5–7], нами проведено изучение первичной структуры миоглобина бобра. Данная работа посвящена установлению аминокислотной последовательности растворимых триптических пептидов глобинового компонента изучаемого белка.

Для структурных исследований использовали апомиоглобин основного электрофоретического компонента миоглобина бобра. Белок выделяли и фракционировали как описано ранее [8].

Гидролиз глобина трипсином проводили в стандартных условиях в течение 6 ч [8]. Материал, нерастворимый при pH 5,0, удаляли центрифугированием после нагревания на водяной бане. Дальнейшее разделение и анализ растворимых триптических пептидов, а также их выделение осуществляли с помощью пептидных карт. На аналитических пептидных картах (рисунок) выявлено 29 нингидрипположительных пятен, а также проведена детекция на гистидин, тирозин, метионин, аргинин и триптофан.

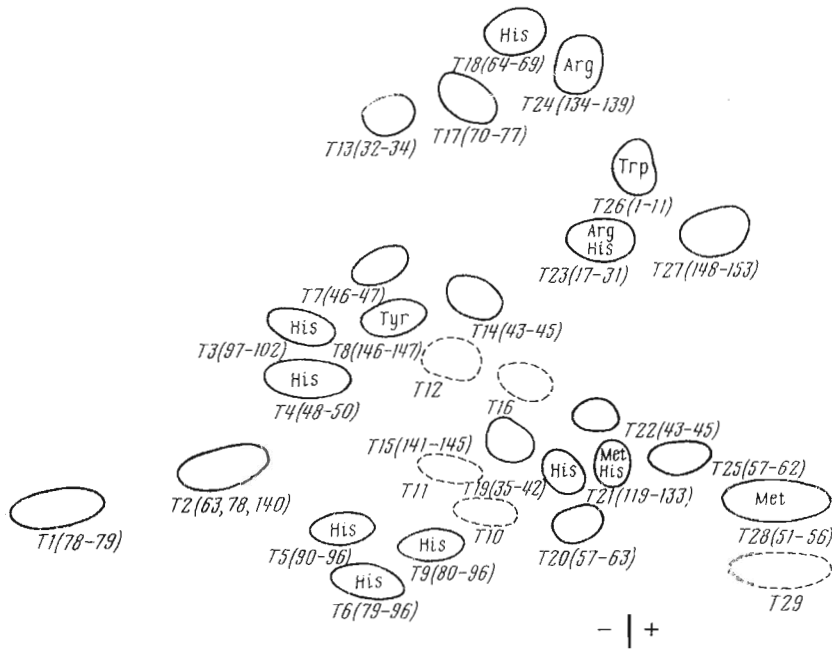


Схема пептидной карты растворимых триптических лептидов миоглобина бобра (милорные пятна обозначены пунктиром). В скобках приведены участки аминокислотной последовательности белка

Пептиды на препаративных дактилограммах обнаруживали опрыскиванием 0,01% раствором нингидрина в ацетоне и элюировали 20% уксусной кислотой или 1% аммиаком. Дополнительную очистку нейтральных цептидов проводили с помощью высоковольтного электрофореза при pH 3,5. Гомогенность выделенных пептидов оценивали определением их N-концевых аминокислотных остатков. Амида идентифицировали, исходя из подвижности пептида при электрофорезе и расчета суммарного электрического заряда по формуле Оффорда [9], а также путем анализа гомологичных позиций в исследованных миоглобинах. Локализацию пептидов в полипептидной цепи белка и предполагаемую структуру некоторых больших триптических фрагментов устанавливали сравнением с гомологичными участками миоглобинов с известной аминокислотной последовательностью [1].

Аминокислотный состав пептидов представлен в табл. 1.

Для всех пептидов были определены полные или частичные аминокислотные последовательности (табл. 2). Необходимо отметить, что во время триптического гидролиза оказались частично или полностью не расщепленными связи Lys-Lys (пептиды T1, T20) и Lys-Pro (пептид T3). С другой стороны, кроме специфического расщепления трипсином пептидных связей по остаткам Lys и Arg наблюдался неспецифический гидролиз по остаткам Leu (пептиды T26, T18, T5).

Два остатка триптофана являются инвариантными в полипептидной цепи миоглобинов с известной первичной структурой и расположены в N-концевом участке молекулы в положениях 7 и 14. N-Концевой триптический фрагмент 1-16 входит обычно в состав перастворимой при pH 5,0 фракции. Выявление на пептидных картах исследуемого белка кислого пептида (T26), дающего положительную реакцию с реагентом Эрлиха и не содержащего Lys или Arg, объясняется расщеплением пептидной связи 11-12, в результате чего N-концевой участок 1-11 становится растворимым.

Таблица 1

Аминокислотный состав растворимых триптических пептидов многогибкого бобра

Пептид	N-Концевая остатков аминокислоты																
	Asp	Thr	Ser	Glu	Pro	Gly	Ala	Val	Met	Ile	Leu	Tyr	Phe	His	Lys	Arg	Trp
T26 (1-11)	4,25 (1)		1,04 (1)	2,08 (2)		2,08 (2)	0,83 (1)			2,72 (3)						(1)	Gly
T23 (17-31)		1,04 (1)		3,14 (3)		2,04 (2)	2,27 (2)	2,00 (2)	0,77 (1)	2,00 (2)					0,86 (1)	Val	
T13 (32-34)										0,82 (1)		1,03 (1)			1,12 (1)	Leu	
T19 (35-42)											1,14 (1)				0,95 (1)	Gly	
T22 (43-45)												1,00 (1)			1,12 (1)	Phe	
T14 (43-45)												0,98 (1)			1,26 (1)	Phe	
T7 (46-47)												0,87 (1)			1,13 (1)	Phe	
T4 (48-50)												1,06 (1)			1,27 (1)	His	
T28 (51-56)												1,08 (1)			1,00 (1)	Ser	
T25 (57-62)												0,90 (1)			1,24 (1)	Ala	
T20 (57-63)												0,87 (1)			2,26 (2)	Ala	

T48 (64-69)	0,83 (1)	1,03 (1)	2,49 (2)	1,09 (1)	6
T17 (70-77)	0,75 (1)	2,05 (2)	1,05 (1)	1,90 (2)	8
T2 (63, 78, 140)				1,00 (1)	1
T1 (78-79)				2,00 (2)	Lys
T6 (79-96)	0,96 (1)	0,92 (1)	1,00 (4)	0,99 (1)	2,00 (2)
T9 (80-96)	0,86 (1)	0,94 (1)	3,45 (3)	3,50 (3)	18
T5 (90-96)	1,08 (1)	1,00 (1)	3,06 (3)	1,21 (1)	Gly
T3 (97-102)		1,05 (1)	0,90 (1)	3,25 (3)	17
T24 (134-139)			1,75 (2)	2,20 (2)	Ala
T24 (141-145)				1,06 (1)	7
T45 (146-147)				1,05 (1)	Asp
T8 (148-153)				0,83 (1)	5
T27 (148-153)				1,46 (1)	Tyr
				0,92 (2)	2
					Glu

Таблица 2

Аминокислотная последовательность растворимых триптических пептидов миоглобина бобра

Пептид	Аминокислотная последовательность *
T26(1–11)	Gly-Leu-Ser-Asp-Gly-Glu-Trp-Gln (Leu, Val, Leu) ↗ ↗ ↗ ↗ ↗ ↗ ↗ ↗ ↗ ↗ ↗
T23(17–31)	Val-Glu-Ala-Asp-Leu-Ala-Gly-His-Gly-Gln-Glu (Val, Leu, Ile) Arg ↗ ↗ ↗ ↗ ↗ ↗ ↗ ↗ ↗ ↗ ↗ ↗ ↗ ↗ ↗ ↗ ↗
T13(32–34)	Leu-Phe-Lys ↗ ↗
T19(35–42)	Gly-His-Pro-Glu-Thr-Leu-Glu-Lys ↗ ↗ ↗ ↗ ↗ ↗ ↗ ↗ ↗ ↗ ↗ ↗
T22(43–45)	Phe-Asp-Lys ↗ ↗
T14(43–45)	Phe-Asn-Lys ↗ ↗
T7(46–47)	Phe-Lys ↗
T4(48–50)	His-Ile-Lys ↗ ↗
T28(51–56)	Ser-Glu-Asp-Glu-Met-Lys ↗ ↗ ↗ ↗ ↗ ↗
T25(57–62)	Ala-Ser-Glu-Asp-Leu-Lys ↗ ↗ ↗ ↗ ↗ ↗
T20(57–63)	Ala-Ser-Glu-Asp-Leu-Lys-Lys ↗ ↗ ↗ ↗ ↗ ↗ ↗ ↗
T18(64–69)	His-Gly-Val-Thr-Val-Leu ↗ ↗ ↗ ↗ ↗ ↗
T17(70–77)	Thr-Ala-Leu-Gly-Gly-Val-Leu-Lys ↗ ↗ ↗ ↗ ↗ ↗ ↗ ↗ ↗ ↗
T1(78–79)	Lys-Lys ↗
T6(79–96)	Lys-Gly-His-His-Glu-Ala-Glu-Ile-Lys-Pro (Leu, Ala, Gln, Ser, His, Ala, Thr) Lys ↗ ↗ ↗ ↗ ↗ ↗ ↗ ↗ ↗ ↗ ↗ ↗ ↗ ↗ ↗ ↗
T9(80–96)	Gly-His-His-Glu-Ala-Glu-Ile-Lys-Pro-Leu (Ala, Gln, Ser, His, Ala, Thr) Lys ↗ ↗ ↗ ↗ ↗ ↗ ↗ ↗ ↗ ↗ ↗ ↗ ↗ ↗ ↗
T5(90–96)	Ala-Gln-Ser-His-Ala-Thr-Lys ↗ ↗ ↗ ↗ ↗ ↗ ↗
T3(97–102)	His-Lys-Ile-Pro-Ile-Lys ↗ ↗ ↗ ↗ ↗
T21(119–133)	His-Pro-Gly-Asx-Phe-Gly-Ala-Asp-Ala-Asx (Gly, Ala, Met, Asn) Lys ↗ ↗ ↗ ↗ ↗ ↗ ↗ ↗ ↗ ↗ ↗ ↗ ↗ ↗ ↗
T24(134–139)	Ala-Leu-Glu-Leu-Phe-Arg ↗ ↗ ↗ ↗ ↗
T15(141–145)	Asp-Ile-Ala-Ala-Lys ↗ ↗ ↗ ↗ ↗
T8(146–147)	Tyr-Lys ↗
T27(148–153)	Glu-Leu-Gly-Phe-Gln-Gly ↗ ↗ ↗ ↗ ↗

* Стрелками показана аминокислотная последовательность, определенная деградацией пептидов по методу Эдмана с идентификацией Dns-производных аминокислот.

Вследствие расщепления связи Leu—Thr (69–70) на пептидных картах обнаружены пептиды T17 и T18, структура которых гомологична участку 64–77 полипептидной цепи миоглобина, выявляемого обычно в составе нерастворимых триптических пептидов.

Расщепление связи Leu—Ala (89–90) привело к появлению пептида T5, соответствующего по структуре С-концевым участкам триптических пептидов T6 (79–96) и T9 (80–96). Исследование N-концевой аминокис-

лотной последовательности пептидов T6, T9 и T5 позволило выяснить полную первичную структуру участка 79–96 полипептидной цепи белка.

Положение T2 на пептидной карте (рисунок) занимает лизин, отщепленный в положениях 63, 78 и 140.

Исследование аминокислотной последовательности пептидов T22 и T14 дало следующие результаты: Phe-Asx-Lys. Различие в подвижности пептидов при электрофорезе объясняется частичным дезамидированием остатка Asn в положении 44, происходящего, очевидно, в процессе выделения и фракционирования белка.

Таким образом, из триптического гидролизата миоглобина бобра выделено 23 растворимых пептида и одна индивидуальная аминокислота. Пептиды, приведенные в таблицах, содержат в сумме 132 аминокислотных остатка.

Экспериментальная часть

Триптический гидролиз глобина. Протеолиз глобина проводили трипсином (Spofa, Чехословакия), обработанным ТРСК [10], в аммонийно-карбонатном буфере (рН 8,2–8,4) при соотношении фермент — субстрат 1 : 50 в течение 6 ч при 37° С. Затем раствор подкисляли уксусной кислотой до рН 5, нагревали на водяной бане при 90° С в течение 5 мин и центрифугировали. Супернатант, содержащий растворимую часть гидролизата, лиофилизовали.

Дактилографический анализ. На аналитические пептидные карты наносили 1,5 мг, на препаративные — 4 мг материала растворимых триптических пептидов. Высоковольтный электрофорез осуществляли в течение 3 ч в аппарате типа Михля на хроматографической бумаге Filtrak-1 размером 600×525 мм; буфер пиридин-ацетатный (рН 5,6), градиент напряжения 35 В/см. Хроматографию проводили перпендикулярно электрофорезу в восходящем потоке растворителя пиридин — бутанол — уксусная кислота — вода (15 : 10 : 3 : 12). Пептиды на аналитических дактилограммах обнаруживали опрыскиванием 0,3%, а на препаративных — 0,01% раствором пингидрина в ацетоне. Детекцию гистидин-, тирозин- и метионинодержащих пептидов осуществляли по Эсли [11], аргинин- и триптофансодержащих — по Алексеенко [12]. Пептиды с препаративных дактилограмм элюировали 20% уксусной кислотой или 1% аммиаком. Для аминокислотного анализа пептиды элюировали 5,6 н. HCl.

Аминокислотный состав определяли на апапилиторе аминокислот Hd 1200Е (ЧССР) и AAA-881 (ЧССР). Пробы гидролизовали в вакууме в течение 24 ч при 105° С в 5,6 н. HCl с добавкой фенола.

N-Концевую аминокислотную последовательность в пептидах устанавливали методом Эдмана с последующей идентификацией аминокислот в виде Dns-производных. Деградацию пептидов проводили по Грею [13] в модификации Виноградовой и др. [14]. Dns-аминокислоты идентифицировали на пластинках с полиамидом [15].

Авторы выражают глубокую благодарность В. Н. Коробову за представление препарата основного электрофоретического компонента миоглобина бобра, С. Н. Веремейченко за выполнение анализов на аминокислотных апапилиторах, сотрудникам отдела химии белка Института молекулярной биологии и генетики АН УССР за ценные замечания, постоянное внимание и помощь при выполнении данной работы.

ЛИТЕРАТУРА

1. Dayhoff M. O. (1976) *Atlas of Protein Sequence and Structure*, vol. 5, Suppl. 2, National Biomedical Research Foundation, Washington.
2. Ратнер В. А., Родин С. Н., Жарких А. А. (1977) в кн.: Математические модели эволюции и селекции, с. 53–95, Новосибирск.
3. Romero-Herrera A. E., Lehmann H., Joysey K. A., Friday A. E. (1978) *Phil. Trans. Roy. Soc. London*, B283, 61–163.

4. Castillo O., Lehmann H., Jones L. T. (1977) Biochim. et biophys. acta, **491**, 23–28.
5. Сухомлинов Б. Ф., Коробов В. Н. (1973) в сб.: Биохимическая эволюция, с. 107–109, «Наука», Л.
6. Сухомлинов Б. Ф., Сухомлинова И. Б., Горчакова Г. И. (1973) Укр. биохим. ж., **45**, 539–542.
7. Сухомлинов Б. Ф., Коробов В. Н., Горчакова Г. И. (1975) Укр. биохим. ж., **47**, 275–279.
8. Сухомлинов Б. Ф., Коробов В. Н., Демчук В. В., Телегус Я. В. (1973) в сб.: Биохимическая эволюция, с. 102–106, «Наука», Л.
9. Offord R. E. (1966) Nature, **211**, 591–593.
10. Jentsch J. (1974) Chromatography, **57**, 450–456.
11. Easley C. W., Legers B. J. M., Di Vigeder M. (1969) Biochim. et biophys. acta, **175**, 211–217.
12. Алексеенко І. П. (1968) в кн.: Современные методы в биохимии, с. 301, «Медицина», М.
13. Gray W. (1967) Methods Enzymol., **11**, 469–475.
14. Виноградова Е. И., Фейгина М. Ю., Алданова Н. А., Овчинников Ю. А. (1973) Биохимия, **38**, 3–21.
15. Woods K., Wang K. (1967) Biochim. et biophys. acta, **133**, 369–375.

Поступила в редакцию
7.VIII.1979

**THE PRIMARY STRUCTURE OF MYOGLOBIN FROM BEAVER
(*CASTOR FIBER*). I. SOLUBLE PEPTIDES OF THE TRYPTIC HYDROLYSATE**

SUKHOMLINOV B. F., DROBOT L. B.

I. Franko State University, Lvov

The amino acid sequence of 23 soluble tryptic peptides has been determined for main electrophoretic component of beaver myoglobin. Fractionation, identification and peptide isolation have been made by peptide maps. The isolated peptides contain in total 132 amino acid residues.